

# توسعه تحلیلی آنالیز سیگنال‌های ارتعاشی بوسیله سیستم موچک‌های چندگانه DGHM برای تشخیص عیوب موضعی و پدیده‌های گذرا در سیستم‌های مکانیکی

مهندس موسی رضائی  
دانشجوی دکتری

سیامک اسماعیل زاده خادم  
دانشیار

بخش مهندسی مکانیک، دانشگاه تربیت مدرس

## چکیده

در این مقاله با استفاده از سیستم موچک‌های چندگانه، آنالیز سیگنال‌های ارتعاشی برای تشخیص عیوب موضعی و پدیده‌های گذرا توسعه یافته است. برخلاف سیستم موچک‌های اسکالر<sup>۱</sup> که ضرائب تبدیل آنها در مقیاس‌های مختلف پارامترهای اسکالر می‌باشند، ضرائب تبدیل در سیستم موچک‌های چندگانه پارامترهای برداری هستند و بدست اوردن آنها مستلزم بکارگیری تکیک‌های محاسباتی خاصی می‌باشد. در تحقیق حاضر با ایده گرفتن از نحوه محاسبه ضرائب تبدیل در سیستم موچک‌های اسکالر و با در نظر گرفتن خاصیت متعامد بودن توابع مقیاس<sup>۲</sup> و توابع موچک<sup>۳</sup> در سیستم‌های موچک‌های چندگانه، ضرائب تبدیل موچک‌های در مقیاس‌های مختلف محاسبه شده است. برای اطمینان از صحت نتایج بدست آمده از آنالیز موچک‌های چندگانه، بعد از تعزیز سیگنال مورد نظر به تصاویر آن در سطوح مختلف توابع مقیاس و توابع موچک، سهم سیگنال در سطوح مختلف فضاهای توابع مقیاس و توابع موچک باهم ترکب شده و سیگنال اولیه بازسازی شده است که این امر صحت بکارگیری روش را نشان می‌دهد. نتایج حاصل از آنالیز سیگنال‌های مختلف نشان می‌دهد که سیستم موچک‌های چندگانه، سیگنال را به بازه‌های فرکانسی بیشتری تعزیز گردد و امکان ردیابی مؤثرتر تغییرات موضعی موجود در یک سیگنال ارتعاشی را که ممکن است ناشی از یک خراپی موضعی در سیستم مکانیکی مورد مطالعه باشد فراهم می‌کند و همین امر یکی از مزایای سیستم موچک‌های چندگانه نسبت به سیستم موچک‌های اسکالر می‌باشد.

## کلمات کلیدی

موچک‌های چندگانه DGHM، آنالیز سیگنال‌های ارتعاشی، عیوب یابی

## Analytical Development of Vibration Signals Analysis Using DGHM Multiwavelet System for Local Faults and Transient Phenomena Detection

S. Esmaeilzadeh Khadem  
Associate Professor

M. Rezaee  
Ph.D. Student

Mechanical Engineering Department,  
Tarbiat Modarres University

## Abstract

In this paper vibration analysis for local faults and transient phenomena detection, using multiwavelet systems is developed. Unlike the scalar wavelet systems in which their coefficients are scalar parameters, the transformation parameters of multiwavelet systems are vector valued, and their calculation requires some special techniques. In this investigation, having considered the technique used to obtain the scalar wavelet system coefficients as well as the orthogonality of the scale and wavelet functions of multiwavelet systems, the transformation coefficients of the multiwavelet system are calculated, and then some artificial vibration signals are analyzed using the multiwavelet system. The results are compared with those obtained through the scalar wavelet systems and frequency analysis techniques. The combination of the contributions of the analyzed signal at different levels of the multiscale and multiwavelet function spaces results in original signal which shows the validity of the results. One of the main advantages of the multiwavelet systems over the scalar wavelet systems is their ability to analyze the signal in more frequency intervals. Using this property, the detection of the local and transient phenomena from the vibration signals, which may be caused by a small and local defects in a mechanical system, may be performed more efficiently.

## Keywods

DGHM Multiwavelets, Vibration Signature Analysis, Fault Detection

## مقدمه

باید یادآور شد که علی‌رغم تحقیقاتی که در سال‌های اخیر در زمینه استفاده از سیستم‌های موجک‌های اسکالار برای آنالیز سیگنال‌های ارتعاشی دریافت شده از سیستم‌های مختلف مکانیکی صورت گرفته است و عمدتاً از سیستم موجک‌های متعماد Daubechies استفاده شده است (که از میان تحقیقات انجام شده در زمینه آنالیز سیگنال‌های ارتعاشی می‌توان به مقالات [۱۲-۷] اشاره کرد)، ولی هیچ تحقیقی در زمینه امکان استفاده از سیستم موجک‌های چندگانه برای آنالیز سیگنال‌های ارتعاشی انجام نگرفته است. در این مقاله برای اولین بار آنالیز سیگنال‌های ارتعاشی با استفاده از سیستم موجک‌های چندگانه DGHM توسعه یافته و در جهت تشخیص عیوب موضعی و پدیده‌های گذرا در سیستم‌های مکانیکی بکار گرفته شده است. برداشت ما این است که با توجه به توانائی سیستم‌های موجک‌های چندگانه، استفاده از این سیستم‌ها در آنالیز سیگنال‌های ارتعاشی نیز جایگاه مناسبی را در آینده پیدا خواهد کرد.

در مقاله حاضر ابتدا به تحلیل تئوری سیستم موجک‌های چندگانه پرداخته شده است. بدین منظور روش آنالیز چنددقیقی<sup>۸</sup> در مورد توابع مقیاس و توابع موجک چندگانه ذکر شده است و سپس نحوه توسعه دیدگاه آنالیز چنددقیقی از سیستم‌های موجک‌های اسکالار به سیستم‌های موجک‌های چندگانه مورد بررسی قرار گرفته است.

تفاوت اساسی در بیان آنالیز چند دقیقی برای سیستم‌های موجک اسکالار و چندگانه به تعداد زیر فضاهای گستردگی شده توسط توابع مقیاس و توابع موجک در سیستم‌های یاد شده بستگی دارد بدین معنی که برخلاف حالت اسکالار که فضای سیگنال توسط انتقال و اتساع یک تابع مقیاس اصلی و یک تابع موجک اصلی گستردگی شود در مورد موجک‌های چندگانه، برای دستیابی به این منظور از چند تابع مقیاس اصلی و چند تابع موجک اصلی استفاده می‌شود. برای نمونه، در مورد سیستم موجک‌های چندگانه متعماد DGHM، دو تابع مقیاس اصلی و دو تابع موجک اصلی در تشکیل فضاهای یاد شده دخیل هستند.

برای آنکه بتوان از سیستم‌های موجک‌های چندگانه برای آنالیز سیگنال‌های ارتعاشی استفاده کرد نیاز به محاسبه ضرائب تبدیل موجک چندگانه می‌باشد ولی محاسبه این ضرائب در مورد موجک‌های چندگانه به مراتب پیچیده‌تر از محاسبه ضرائب تبدیل موجک در سیستم‌های موجک اسکالار متعماد می‌باشد. بدین منظور در تحقیق حاضر برای محاسبه ضرائب تبدیل موجک‌های چندگانه متعماد از ایده محاسبه ضرائب تبدیل موجک اسکالار استفاده شده است و برای تعمیم

در یک دهه گذشته سیستم‌های موجک به عنوان یک روش نوظهور برای آنالیز سیگنال‌ها معرفی شده و کاربردهای وسیعی را در زمینه‌های مختلف تحلیلی و تجربی پیدا کرده است. یکی از مهمترین سیستم‌های موجک عبارت از سیستم موجک‌های متعماد Daubechies می‌باشد که در آن از یک تابع مقیاس اصلی و از یک تابع موجک اصلی به عنوان توابع آنالیز گذشته استفاده می‌شود [۳-۱]. یکی از مهمترین ویژگی‌های سیستم موجک یاد شده، متعماد بودن مقیاس و توابع موجک در مقیاس‌های مختلف می‌باشد.

اخیراً گروهی از محققان امکان استفاده از چند تابع مقیاس و چند تابع موجک را مورد توجه قرار داده‌اند. در مقابل سیستم موجک‌های مرسوم، به چنین سیستم‌هایی سیستم موجک‌های چندگانه اطلاق می‌شود. سیستم موجک‌های چندگانه موضوع تحقیقاتی بسیار جدیدی می‌باشد و اولین بار Geronimo و همکارانش [۴] دو تابع مقیاس متعماد را بدست آورند. این توابع مقیاس دارای ویژگی‌های کاملاً برجسته‌ای نسبت به توابع مقیاس سیستم‌های اسکالار هستند که از آن جمله می‌توان به مقایسه بودن<sup>۵</sup> آنها اشاره کرد. بدست آوردن توابع موجک از توابع مقیاس چندگانه کار بسیار پیچیده‌تری نسبت به حالت اسکالار می‌باشد و اولین مجموعه از موجک‌های چندگانه که از توابع مقیاس چندگانه معرفی شده توسط Geronimo و همکارانش بدست آمد به ترتیب توسط Strang و Strela [۵] و Donovan و همکارانش [۶] در سال‌های ۱۹۹۵ و ۱۹۹۶ صورت گرفت. سیستم موجک‌های چندگانه یاد شده که از دو تابع موجک اصلی تشکیل شده است دارای خاصیت تعاملی می‌باشد و یکی از این توابع مقایسه و دیگری پادمقایسه<sup>۶</sup> است.

در سال‌های اخیر تحقیقات زیادی در زمینه‌های مختلف کاربرد سیستم‌های موجک اسکالار صورت گرفته است که از آن جمله می‌توان به آنالیز سیگنال‌های ارتعاشی دریافت شده از سیستم‌های مکانیکی اشاره کرد [۱۲-۷]. با ظهور سیستم‌های موجک‌های چندگانه، زمینه تحقیقاتی نویزی در برابر محققان قرار گرفته و فصل جدیدی بر تکنیک آنالیز موجک اضافه شده است و در این میان محققان در صدد ارتقاء توانائی سیستم‌های موجک در کاربردهای متعدد هستند. اخیراً مقالات متعددی در زمینه سیستم موجک‌های چندگانه و بویژه موجک‌های چندگانه DGHM، و استفاده از آنها در کاربردهایی نظیر فشرده سازی پردازش تصویر<sup>۷</sup>، نویز زدایی و نیز در زمینه پیش‌پردازش داده‌ها به منظور اعمال تبدیلات موجک چندگانه منتشر شده است که از آن جمله می‌توان به مراجع [۱۴-۲۲] اشاره کرد.

$\in L^2(Z)^{r \times r}$  وجود دارد بطوریکه:

$$\Phi(t) = \sum_{k \in Z} G_k \Phi(2t - k) \quad (5)$$

به عبارت دیگر رابطه آنالیز چنددقیقی برای توابع مقیاس چندگانه را می‌توان به صورت زیر نوشت:

$$\begin{bmatrix} \varphi_1(t) \\ \varphi_2(t) \\ \vdots \\ \varphi_r(t) \end{bmatrix} = \sum_{k \in Z} \begin{bmatrix} g_{11}^k & g_{12}^k & \dots & g_{1r}^k \\ g_{21}^k & g_{22}^k & \dots & g_{2r}^k \\ \vdots & \vdots & \ddots & \vdots \\ g_{r1}^k & g_{r2}^k & \dots & g_{rr}^k \end{bmatrix} \begin{bmatrix} \varphi_1(2t - k) \\ \varphi_2(2t - k) \\ \vdots \\ \varphi_r(2t - k) \end{bmatrix} \quad (6)$$

می‌توان نشان داد که رابطه اخیر در فضای فوریه به صورت زیر خواهد بود [۲۴]:

$$\begin{aligned} \widehat{\Phi}(\omega) &= \sum_k G_k \int_{-\infty}^{\infty} \Phi(2t - k) e^{-j\omega t} dt \\ &= \widehat{G}\left(\frac{\omega}{2}\right) \widehat{\Phi}\left(\frac{\omega}{2}\right) \end{aligned} \quad (7)$$

که در آن  $\widehat{G}\left(\frac{\omega}{2}\right)$  به صورت زیر تعریف شده است:

$$\widehat{G}\left(\frac{\omega}{2}\right) = \frac{1}{2} \sum_k G_k e^{-j\frac{\omega}{2}k} \quad (8)$$

بنابراین خواهیم داشت:

$$\widehat{\Phi}(2\omega) = \widehat{G}\left(\frac{\omega}{2}\right) \widehat{\Phi}\left(\frac{\omega}{2}\right) \quad (9)$$

از طرف دیگر با نوشتن رابطه (5) بر حسب پارامترهای مختلف  $x, l \in Z$ , رابطه آنالیز چنددقیقی به شکل مفیدتری قابل بیان است [۲۴]:

$$\begin{aligned} \Phi(t+1) &= \sum_{k \in Z} G_k \Phi(2(t+1) - k) \\ \Phi(t) &= \sum_{k \in Z} G_k \Phi(2t - k) \\ \Phi(t-1) &= \sum_{k \in Z} G_k \Phi(2(t-1) - k) \end{aligned} \quad (10)$$

روابط اخیر را می‌توان به صورت ماتریسی زیر بیان کرد:

$$\begin{bmatrix} \vdots \\ \Phi(t+1) \\ \Phi(t) \\ \Phi(t-1) \\ \vdots \end{bmatrix} = \begin{bmatrix} \vdots & \vdots & \vdots & \vdots \\ \dots & G_1 & G_2 & G_3 & \dots \\ \dots & G_{-1} & G_0 & G_1 & \dots \\ \dots & G_{-3} & G_{-2} & G_{-1} & \dots \\ \vdots & \vdots & \vdots & \vdots \end{bmatrix} \begin{bmatrix} \Phi(2t+1) \\ \Phi(2t) \\ \Phi(2t-1) \\ \vdots \end{bmatrix} \quad (11)$$

روش موجود به سیستم موجک‌های چندگانه، یک سیگنانال دلخواه را بر حسب تصاویر آن در فضاهای مختلف توابع مقیاس و توابع موجک بیان کرده و با اعمال شرط تعاملد توابع مقیاس و توابع موجک چندگانه، و با روش خاصی ضرائب تبدیل را بدست آورده‌ایم. در ادامه، سیگنانال‌های متعددی را با استفاده از سیستم موجک‌های چندگانه DGHM و با اعمال روش پیشنهاد شده مورد تحلیل قرار داده ونتایج را با آنالیز فرکانسی و آنالیز موجک اسکالر Daubechies مقایسه کرده‌ایم.

## ۱- توابع مقیاس چندگانه

همچون حالت اسکالر، موجک‌های چندگانه با استفاده از توابع مقیاس چندگانه ایجاد می‌شوند. این موضوع را می‌توان بر اساس تعمیم آنالیز چند دقیقی در مورد موجک‌های یگانه بیان کرد. اگر  $\Phi$  یک تابع برداری باشد که المان‌های آن توابع  $\varphi_r, r \in N$  باشند:

$$\Phi = [\varphi_1 \ \varphi_2 \ \dots \ \varphi_r]^T \quad (1)$$

و فضای ایجاد شده توسط انتقال و اتساع توابع اخیر را با  $V$  نشان دهیم خواهیم داشت:

$$V_j = \overline{\text{span} \left\{ 2^{j/2} \varphi_i (2^j t - k) : 1 \leq i \leq r, k \in Z \right\}} \quad (2)$$

اگر فضای تعریف شده در رابطه (2) دارای شرایط زیر باشد در آن صورت  $\Phi$  یک تابع مقیاس چندگانه خواهد بود [۲۰ و ۲۴]:

$$\begin{aligned} \dots &\subset V_{-1} \subset V_0 \subset V_1 \dots & (\text{الف}) \\ \bigcup_{j \in Z} V_j &= L^2(R) & (\text{ب}) \\ \bigcap_{j \in Z} V_j &= \{0\} & (\text{ج}) \\ f(t) \in V_j \Leftrightarrow f(2t) &\in V_{j+1} \quad \forall j \in Z & (\text{د}) \end{aligned} \quad (3)$$

بنابراین تابع مقیاس چندگانه  $\Phi$  یک آنالیز چنددقیقی با ضربی  $L^2(R)$  تولید می‌کند. همچنین با توجه به برقراری شرط:

$$\varphi_1(t), \dots, \varphi_r(t) \in V_0 \subset V_1 \quad (4)$$

می‌توان نتیجه گرفت که یک توالی از ماتریس‌های  $\{G_k\}_{k \in Z}$

$$\Psi = [\Psi_1 \ \Psi_2 \ \dots \ \Psi_r]^T \in L^2(\mathbb{R})^r \quad (14)$$

در نظر بگیریم در آن صورت فضای  $W_j$  ایجاد شده توسط این تابع به صورت رابطه زیر خواهد بود:

$$W_j = \overline{\text{span} \left\{ 2^{j/2} \Psi_i (2^j t - k) : 1 \leq i \leq r, k \in \mathbb{Z} \right\}} \quad (15)$$

حال اگر شرط  $V_j \perp W_j$  برقرار باشد و مجموعه  $\{2^{j/2} \Psi_i (2^j t - k) : 1 \leq i \leq r, k \in \mathbb{Z}\}$  پایه پایداری برای  $W_j$  باشد و همچنین اگر  $\Psi_i$  ها به انتقال های صحیح خود عمود باشند، یعنی داشته باشیم:

$$\int \Psi_i(t) \Psi_j(t-n) dt = \delta_{ij} \delta_{nn} \quad (16)$$

در آن صورت مجموعه  $\Psi_i$  ها موجک های چندگانه متعامد یکه ای را تشکیل می دهند که شرط زیر را ارضاء می کنند:

$$\langle \Psi(2^j t - n), \Psi(2^k t - m) \rangle = \delta_{jk} \delta_{nm} \quad \forall j, k, m, n \in \mathbb{Z} \quad (17)$$

که در آن  $\Psi$  ماتریس واحد  $r \times r$  می باشد.  
برخلاف سیستم های موجک های اسکالار، ضرائب رابطه چندگانه برای بدست آوردن موجک های چندگانه، ماتریس های  $r \times r$  هستند [۵]:

$$\Psi(t) = \sum_{k \in \mathbb{Z}} H_k \Phi(2t - k) \quad (18)$$

رابطه (۱۸) را می توان به صورت ماتریسی نیز بیان کرد [۲۴]:

$$\begin{bmatrix} \vdots \\ \Psi(t+1) \\ \Psi(t) \\ \Psi(t-1) \\ \vdots \end{bmatrix} = \begin{bmatrix} \vdots & \vdots & \vdots & \vdots \\ \dots & H_1 & H_2 & H_3 & \dots \\ \dots & H_{-1} & H_0 & H_1 & \dots \\ \dots & H_{-3} & H_{-2} & H_{-1} & \dots \\ \vdots & \vdots & \vdots & \vdots \end{bmatrix} \begin{bmatrix} \vdots \\ \Psi(2t+1) \\ \Psi(2t) \\ \Psi(2t-1) \\ \vdots \end{bmatrix} \quad (19)$$

بدست آوردن تابع موجک چندگانه، مستلزم معلوم بودن ماتریس های  $H_i$  است. ماتریس های اخیر اولین بار برای حالت  $r=2$  توسط Donovan و Strang [۶] و همچنین توسط Srela و همکارانش [۷] به صورت زیر بدست آمد:

که در آن  $G_i$  ها ماتریس های مربعی  $r \times r$  می باشند.  
اولین قدم برای بدست آوردن توابع مقیاس چندگانه، تعیین ماتریس های  $G_i$  می باشد که اولین بار یک سری از این ماتریس ها توسط Geronimo و همکارانش [۸] با استفاده از توابع فراکتال  $^9$  بدست آمد که به صورت زیر می باشند:

$$G_0 = \begin{bmatrix} 3/5 & 4\sqrt{2}/5 \\ -1/10\sqrt{2} & -3/10 \end{bmatrix}, \quad G_1 = \begin{bmatrix} 3/5 & 0 \\ 9/10\sqrt{2} & 1 \end{bmatrix}$$

$$G_2 = \begin{bmatrix} 0 & 0 \\ 9/10\sqrt{2} & -3/10 \end{bmatrix}, \quad G_3 = \begin{bmatrix} 0 & 0 \\ -1/10\sqrt{2} & 0 \end{bmatrix} \quad (12)$$

توابع مقیاسی که با استفاده از این ماتریس ها و رابطه آنالیز چندگانه برای ترتیب در محدوده های  $x \in [0, 2]$  دارای مقدار غیر صفر هستند. این توابع همراه با طیف های فرکانسی آنها، در شکل (۱) نشان داده شده اند. چنانچه از شکل های (۱-ج) و (۱-د) مشاهده می شود تابع مقیاس  $\Psi_1$  به صورت یک فیلتر پائین گذر عمل می کند در صورتیکه تابع مقیاس  $\Psi_2$  رفتار یک فیلتر میان گذر را از خود نشان می دهد. یکی از ویژگی های مهم این توابع عبارت از مقارن بودن آنها می باشد که این امر در حالت اسکالار ناممکن است، در حالیکه در توابع مقیاس چندگانه به علت وجود درجات آزادی بیشتر، می توان علاوه بر ارضاء شرایطی که برای توابع مقیاس یگانه اعمال می شوند به خاصیت مقارن نیز دست یافت.

## ۲- موجک های چندگانه

بدست آوردن موجک های چندگانه از توابع مقیاس چندگانه، بسیار پیچیده تر از بدست آوردن تابع موجک واحد از تابع مقیاس واحد می باشد. در حالت اسکالار، ضرائب معادله آنالیز چندگانه برای تابع موجک را می توان به راحتی با تغییر دادن ترتیب و علائم ضرائب تابع مقیاس بدست آورد [۳ و ۵]، ولی این روش در مورد موجک های چندگانه کارآئی ندارد بنابراین روش جدیدی برای ایجاد تابع موجک مورد نیاز است. اگر  $V$  فضای ایجاد شده توسط تابع مقیاس چندگانه باشد در آن صورت می توان فضای مکمل  $W$  برای هر  $z \in Z$  را طوری تعیین کرد که داشته باشیم:

$$V_{j+1} = V_j \oplus W_j \quad (13)$$

اگر  $\Psi$  بزدار موجک های چندگانه را به صورت:

$$f_0 = f_{-1} \oplus g_{-1} = f_{-2} \oplus g_{-2} \oplus g_{-1} = \dots \\ = f_{-L} \oplus g_{-L} \oplus g_{-L+1} \dots \oplus g_{-1} \quad (23)$$

در رابطه فوق  $f_0$  و  $g_j$  به ترتیب تصاویر  $f_0$  در فضاهای  $V_j$  و  $W_j$  می باشند، یعنی:

$$f_j(t) = \sum_{k \in Z} \sum_{i=1}^r c_i^{k,j} \phi_i(2^{-j}t - k) = \sum_{k \in Z} (C_k^j)^T \Phi(2^{-j}t - k) \quad (24)$$

$$g_j(t) = \sum_{k \in Z} \sum_{i=1}^r d_i^{k,j} \psi_i(2^{-j}t - k) = \sum_{k \in Z} (D_k^j)^T \Psi(2^{-j}t - k) \quad (25)$$

بنابراین  $V_0$  را می توان به صورت زیر بسط داد [۲۴]:

$$f_0(t) = \sum_{k \in Z} (C_k^0)^T \Phi(t - k) \\ = \sum_{k \in Z} \left\{ (C_k^{-L})^T \Phi(2^{-L}t - k) + (D_k^{-1})^T \Psi(2^{-1}t - k) + \dots + (D_k^{-L})^T \Psi(2^{-L}t - k) \right\} \quad (26)$$

برای بدست آوردن روابطی بین  $C_k$  ها و  $D_k$  ها در دو سطح متواالی؛ از معادله چند قطبی برای محاسبه  $\Phi(t)$  استفاده می کنیم:

$$\Phi(t) = \sum_{n \in Z} G_n \Phi(2t - n) \quad (27)$$

اگر در رابطه اخیر  $f_0$  را به  $2^j t - k$  تبدیل کرده و در معادله حاصل شده، تغییر متغیر  $m = 2k + n$  را اعمال کنیم خواهیم داشت [۲۴]:

$$\Phi(2^j t - k) = \sum_m G_{(m-2k)} \Phi(2^{j+1}t - m) \quad (28)$$

با توجه به اینکه مجموعه توابع  $\Phi(2^j t - k), k \in Z$ ، تشکیل دهنده فضای  $V_j$  هستند بنابراین هر تابع  $f_0 \in V_0$  را می توان به صورت زیر بسط داد:

$$f_0(t) = \sum_{k \in Z} (C_k^{j+1})^T \Phi(2^{j+1}t - k) \quad (29)$$

حال با توجه به خاصیت چند قطبی فضاهای  $V_j$  و  $W_j$  رابطه

$$H_0 = \frac{1}{10} \begin{bmatrix} -1/\sqrt{2} & -3 \\ 1 & 3\sqrt{2} \end{bmatrix}, H_1 = \frac{1}{10} \begin{bmatrix} 9/\sqrt{2} & -10 \\ -9 & 0 \end{bmatrix} \\ H_2 = \frac{1}{10} \begin{bmatrix} 9\sqrt{2} & -3 \\ 9 & -3\sqrt{2} \end{bmatrix}, H_3 = \frac{1}{10} \begin{bmatrix} -1/\sqrt{2} & 0 \\ -1 & 0 \end{bmatrix} \quad (20)$$

تتابع موجک  $\Psi_1$  و  $\Psi_2$  براساس ماتریس های فوق، از رابطه زیر قابل محاسبه هستند:

$$\begin{bmatrix} \Psi_1(t) \\ \Psi_2(t) \end{bmatrix} = \sum_{k=0}^3 \begin{bmatrix} h_{11}^k & h_{12}^k \\ h_{21}^k & h_{22}^k \end{bmatrix} \begin{bmatrix} \phi_1(2t - k) \\ \phi_2(2t - k) \end{bmatrix} \quad (21)$$

که در آن  $\begin{bmatrix} h_{11}^k & h_{12}^k \\ h_{21}^k & h_{22}^k \end{bmatrix} = H_k$  می باشد. تتابع موجک  $\Psi_1$  و  $\Psi_2$  بدست آمده از رابطه (۲۱) همراه با طیف فرکانسی آنها، در شکل (۲) نشان داده شده اند. تتابع اخیر فقط در محدوده  $0 < t < 2$  دارای مقادیر غیر صفر هستند.

همانطوری که از این شکل ها نیز دیده می شود دو تتابع موجک  $\Psi_1$  و  $\Psi_2$  به ترتیب توابع متقارن و پادمتری می باشند که حصول این ویژگی در مورد موجک های اسکالار امکان پذیر نیست. با بررسی دیاگرام های طیف فرکانسی تتابع موجک  $\Psi_1$  و  $\Psi_2$  مشاهده می شود که هر دو تتابع موجک از نظر فرکانسی همانند فیلترهای میان گذر عمل می کنند.

### ۳- تعمیم روش تبدیل موجک اسکالار گستته به سیستم موجک های چندگانه

با داشتن یک سیستم آنالیز چند دقتی با  $f_0$  تابع مقیاس، می توان یک تابع  $(R) \in L^2$  را بر حسب ضرایب موجک های چندگانه مربوطه بیان کرد. اگر  $f_0 \in V_0$  باشد در آن صورت با توجه به تعريف آنالیز چند دقتی و اعمال رابطه (۱۳)، فضای  $V_0$  می توان به صورت زیر بیان کرد [۲۴]:

$$V_0 = V_{-1} \oplus W_{-1} = V_{-2} \oplus W_{-2} \oplus W_{-1} = \dots = V_L \oplus W_L \oplus W_{L+1} \dots \oplus W_{-1} \quad (22)$$

که در آن  $L$  یک عدد صحیح بزرگتر از صفر می باشد. بنابراین هر تابع  $f_0 \in V_0$  را می توان به صورت جمع تصاویر آن تابع در یک فضای توابع مقیاس و فضاهای تتابع موجک بیان کرد:

فوق را می توان در دو فضای  $V_j$  و  $W_j$  بیان کرد:

$$V_{j+1} = V_j \oplus W_j$$

$$f(t) = \sum_k (C_k^j)^T \Phi (2^j t - k) + \sum_k (D_k^j)^T \Psi (2^j t - k) \quad (30)$$

با در نظر گرفتن تعامل توابع مقیاس و توابع موجک در یک سیستم موجک متعامد، رابطه (۳۰) را می توان برای حالتی که  $\psi$  تابع مقیاس و  $\varphi$  تابع موجک موجود باشد به صورت زیر بیان کرد [۲۴]:

$$f(t) = \sum_k \begin{bmatrix} c_{k,1}^j & c_{k,2}^j & \dots & c_{k,r}^j \end{bmatrix} \begin{bmatrix} \varphi_1 (2^j t - k) \\ \varphi_2 (2^j t - k) \\ \vdots \\ \varphi_r (2^j t - k) \end{bmatrix} +$$

$$\sum_k \begin{bmatrix} d_{k,1}^j & d_{k,2}^j & \dots & d_{k,r}^j \end{bmatrix} \begin{bmatrix} \psi_1 (2^j t - k) \\ \psi_2 (2^j t - k) \\ \vdots \\ \psi_r (2^j t - k) \end{bmatrix} \quad (31)$$

اگر سیستم توابع موجک و توابع مقیاس، یک سیستم متعامد یکه باشند در آن صورت ضرائب  $c_{k,i}^j$  و  $d_{k,i}^j$  را می توان به صورت رابطه (۳۲) بدست آورد [۲۴]:

$$c_{k,i}^j = 2^j \langle f(t), \varphi_i (2^j t - k) \rangle \quad (32\text{ الف})$$

$$d_{k,i}^j = 2^j \langle f(t), \psi_i (2^j t - k) \rangle \quad (32\text{ ب})$$

و بقیه ضرائب نیز به روش فوق قابل محاسبه هستند. از طرفی رابطه (۲۸) برای سیستمی با  $\psi$  تابع مقیاس را می توان بدین صورت نوشت [۲۴]:

$$\begin{bmatrix} \varphi_1 (2^j t - k) \\ \varphi_2 (2^j t - k) \\ \vdots \\ \varphi_r (2^j t - k) \end{bmatrix} = \sum_m \begin{bmatrix} g_{11}^{(m-2)} & g_{12}^{(m-2)} & \dots & g_{1r}^{(m-2)} \\ g_{21}^{(m-2)} & g_{22}^{(m-2)} & \dots & g_{2r}^{(m-2)} \\ \vdots & \vdots & \ddots & \vdots \\ g_{r1}^{(m-2)} & g_{r2}^{(m-2)} & \dots & g_{rr}^{(m-2)} \end{bmatrix} \begin{bmatrix} c_{m,1}^{j+1} \\ c_{m,2}^{j+1} \\ \vdots \\ c_{m,r}^{j+1} \end{bmatrix} \quad (33)$$

$$\begin{bmatrix} \varphi_1 (2^{j+1} t - m) \\ \varphi_2 (2^{j+1} t - m) \\ \vdots \\ \varphi_r (2^{j+1} t - m) \end{bmatrix} \quad (33\text{ الف})$$

$$\varphi_2 (2^j t - k) = \sum_m \left[ g_{21}^{(m-2)} \varphi_1 (2^{j+1} t - m) + g_{22}^{(m-2)} \varphi_2 (2^{j+1} t - m) + \dots + g_{2r}^{(m-2)} \varphi_r (2^{j+1} t - m) \right],$$

$$\varphi_1 (2^j t - k) = \sum_m \left[ g_{11}^{(m-2)} \varphi_1 (2^{j+1} t - m) + g_{12}^{(m-2)} \varphi_2 (2^{j+1} t - m) + \dots + g_{1r}^{(m-2)} \varphi_r (2^{j+1} t - m) \right],$$

$$\varphi_r (2^j t - k) = \sum_m \left[ g_{r1}^{(m-2)} \varphi_1 (2^{j+1} t - m) + g_{r2}^{(m-2)} \varphi_2 (2^{j+1} t - m) + \dots + g_{rr}^{(m-2)} \varphi_r (2^{j+1} t - m) \right]. \quad (33\text{-ب})$$

با جایگذاری رابطه (۳۳-ب) در (۳۲) خواهیم داشت:

$$c_{l,1}^j = 2^j \left[ \left\langle f(t), \sum_m g_{11}^{(m-2)} \varphi_1 (2^{j+1} t - m) \right\rangle + \dots + \left\langle f(t), \sum_m g_{rr}^{(m-2)} \varphi_r (2^{j+1} t - m) \right\rangle \right]$$

$$\Rightarrow c_{l,1}^j = 2^j \left[ \sum_m g_{11}^{(m-2)} \langle f(t), \varphi_1 (2^{j+1} t - m) \rangle + \dots + \sum_m g_{rr}^{(m-2)} \langle f(t), \varphi_r (2^{j+1} t - m) \rangle \right]$$

$$c_{l,1}^j = \frac{1}{2} \sum_m \begin{bmatrix} g_{11}^{(m-2)} & g_{12}^{(m-2)} & \dots & g_{1r}^{(m-2)} \end{bmatrix} \begin{bmatrix} c_{m,1}^{j+1} \\ c_{m,2}^{j+1} \\ \vdots \\ c_{m,r}^{j+1} \end{bmatrix} \quad (34)$$

به روشه مشابه، بقیه ضرائب  $c_{l,i}^j$  را می توان بدست آورد. حال اگر روابط بدست آمده برای  $\varphi_i$  ها را به صورت فشرده بیان کنیم خواهیم داشت [۲۴]:

$$\begin{bmatrix} c_{l,1}^j \\ c_{l,2}^j \\ \vdots \\ c_{l,r}^j \end{bmatrix} = \frac{1}{2} \sum_m \begin{bmatrix} g_{11}^{(m-2)} & g_{12}^{(m-2)} & \dots & g_{1r}^{(m-2)} \\ g_{21}^{(m-2)} & g_{22}^{(m-2)} & \dots & g_{2r}^{(m-2)} \\ \vdots & \vdots & \ddots & \vdots \\ g_{r1}^{(m-2)} & g_{r2}^{(m-2)} & \dots & g_{rr}^{(m-2)} \end{bmatrix} \begin{bmatrix} c_{m,1}^{j+1} \\ c_{m,2}^{j+1} \\ \vdots \\ c_{m,r}^{j+1} \end{bmatrix} \quad (35\text{ - الف})$$

رابطه فوق را می توان به صورت فشرده نیز بیان کرد:

$$C_L^j = \frac{1}{2} \sum_m G_{(m-2)} C_m^{j+1} \quad (35\text{ - ب})$$

و به روشه مشابه می توان ثابت کرد که ضرائب توابع موجک در یک مقیاس پانین تراز طریق رابطه زیر به ضرائب توابع موجک در یک مقیاس بالاتر ارتباط پیدا می کنند [۲۴]:

$$D_L^j = \frac{1}{2} \sum_m H_{(m-2)} C_m^{j+1} \quad (36)$$

$$c_{l,l}^{j+1} = \sum_k (C_k^j)^T \begin{bmatrix} g_{11}^{(l-2k)} \\ g_{21}^{(l-2k)} \\ \vdots \\ g_{rl}^{(l-2k)} \end{bmatrix} + \sum_k (D_k^j)^T \begin{bmatrix} h_{11}^{(l-2k)} \\ h_{21}^{(l-2k)} \\ \vdots \\ h_{rl}^{(l-2k)} \end{bmatrix} \quad (42)$$

به طریقه مشابه می توان روابطی را برای  $c_{1,2}^{j+1}, c_{1,3}^{j+1}, \dots$  و  $c_{l,r}^{j+1}$  بدست آورده که با جمع بندی آنها می توان به رابطه کلی زیر دست یافته [۲۴] :

$$(C_l^{j+1})^T = \sum_k (C_k^j)^T G_{(l-2k)} + \sum_k (D_k^j)^T H_{(l-2k)} \quad (43)$$

رابطه فوق نحوه بدست آوردن ضرائب تبدیل موجک در یک مقیاس بالاتر را با استفاده از ضرائب تبدیل موجک در یک مقیاس پائین تر بیان می کند و امکان بازسازی سیگنال اولیه را با استفاده از جمع تصاویر آن سیگنال در مقیاس های پائین تر فراهم می آورد.

حال که اصول تئوری موجک های چندگانه تعیین شد و ضرائب تبدیل موجک چندگانه بدست آمد، نیاز به بهره گیری از سیستم موجک های چندگانه در آنالیز سیگنال های مختلف می باشد. بدین منظور در بخش های بعدی، سیگنال های متعددی را با استفاده از سیستم موجک های چندگانه DGHM مورد تحلیل قرار خواهیم داد. برای آنکه توانایی سیستم موجک های چندگانه نسبت به سیستم موجک های اسکالار و نسبت به آنالیز طیفی در تشخیص عیوب موضعی و پدیده های گذرا روشن شود، نتایج حاصل از آنالیز توسط موجک های چندگانه را با نتایج بدست آمده از آنالیز طیفی و آنالیز موجک های اسکالار مورد مقایسه قرار می دهیم.

#### ۴- آنالیز یک موج سینوسی ساده همراه با یک پالس باند پهن بوسیله موجک های چندگانه DGHM و مقایسه نتایج با آنالیز طیفی و آنالیز با موجک اسکالار [۲۴]

در این بخش یک سیگنال سینوسی را در موقعیت زمانی  $t=0.8 \text{ Sec}$  با یک پالس باند پهن ترکیب شده است با استفاده از سیستم موجک چندگانه DGHM مورد تحلیل قرار می دهیم. سیگنال یاد شده در حوزه زمان در شکل (۳-الف) نشان داده شده است. قبل از انجام آنالیز توسط موجک های چندگانه، سیگنال اخیر را توسط روش آنالیز طیفی مورد مطالعه قرار می دهیم. در شکل (۳-ب) طیف توان سیگنال نشان داده شده است. چنانکه از این شکل دیده می شود دیاگرام طیفی فقط دارای یک پیک در فرکانس  $2 \text{ Hz}$  می باشد ولی نمی توان به تأثیر پالس ترکیب شده در سیگنال با استفاده از آنالیز طیفی پی برد. شکل (۳-ج) تبدیل موجک چندگانه

روابط اخیر نحوه تجزیه یک سیگنال و بدست آوردن تصاویر آن در فضاهای با مقیاس پائین تر را نشان می دهد. حال نحوه بازسازی سیگنال را از طریق جمع تصاویر آن در فضاهای با مقیاس پائین تر مورد بررسی قرار می دهیم. سیگنال را که در فضای تابع مقیاس  $j+1$  باشد در نظر می گیریم:

$$f(t) \in V_{j+1} \quad (37)$$

سیگنال  $f(t)$  را می توان به صورت زیر بر حسب توابع مقیاس بیان کرد:

$$f(t) = \sum_k (C_k^{j+1})^T \Phi (2^{j+1}t - k) \quad (38)$$

اگر تابع اخیر را در یک مقیاس پائین تر بیان کنیم نیاز به توابع موجک نیز خواهیم داشت یعنی [۲۴] :

$$f(t) = \sum_k (C_k^j)^T \Phi (2^j t - k) + \sum_k (D_k^j)^T \Psi (2^j t - k) \quad (39)$$

با قرار دادن روابط چنددقیقی در (۳۹) و بعد از ساده سازی و اعمال تغییر متغیر مناسب، به رابطه زیر می رسیم [۲۴] :

$$\begin{aligned} \sum_k (C_k^{j+1})^T \Phi (2^{j+1}t - k) &= \sum_k (C_k^j)^T \sum_m G_{m-2k} \Phi (2^{j+1}t - m) \\ &+ \sum_k (D_k^j)^T \sum_m H_{m-2k} \Phi (2^{j+1}t - m) \end{aligned} \quad (40)$$

با ضرب طرفین رابطه فوق در  $(2^{j+1}t - l) \varphi$  و انتگرال گیری از رابطه حاصل شده، خواهیم داشت [۲۴] :

$$c_{k,l}^{j+1} \left( \frac{1}{2^{j+1}} \right) \delta_{kl} = \sum_m (C_k^j)^T \begin{bmatrix} g_{11}^{(m-2k)} \left( \frac{1}{2^{j+1}} \right) \delta_{ml} \\ g_{21}^{(m-2k)} \left( \frac{1}{2^{j+1}} \right) \delta_{ml} \\ \vdots \\ g_{rl}^{(m-2k)} \left( \frac{1}{2^{j+1}} \right) \delta_{ml} \end{bmatrix}$$

$$+ \sum_k (D_k^j)^T \begin{bmatrix} h_{11}^{(m-2k)} \left( \frac{1}{2^{j+1}} \right) \delta_{ml} \\ h_{21}^{(m-2k)} \left( \frac{1}{2^{j+1}} \right) \delta_{ml} \\ \vdots \\ h_{rl}^{(m-2k)} \left( \frac{1}{2^{j+1}} \right) \delta_{ml} \end{bmatrix} \quad (41)$$

با ساده کردن رابطه فوق خواهیم داشت:

سیگنال یاد شده را نشان می دهد. برای آنالیز سیگنال توسط موجک چندگانه نیاز به تأمین ورودی به صورت برداری هستیم که این مسأله را با تکرار سیگنال ورودی تأمین می کنیم. سیگنال تکرار شده در قسمت فوقانی شکل (۳-ج) نشان داده شده است. تبدیل موجک چندگانه نشان داده شده در شکل اخیر اطلاعات چندان مفیدی را در اختیار قرار نمی دهد لذا برای تأمین اطلاعات مفیدتر و جامعتر، می توانیم سیگنال را به سطوح مختلف و در مقیاس های متعدد تجزیه کنیم. نحوه تجزیه سیگنال به سطوح مختلف در شکل (۳-د) نشان داده شده است.

با توجه به اینکه در تجزیه سیگنال از دو تابع مقیاس و دو تابع موجک استفاده شده است لذا در هر سطحی دو منحنی وجود دارد. برای اثبات صحت روش تجزیه سیگنال به سطوح مختلف، اجزای سیگنال در تمام سطوح با هم ترکیب شده و منحنی  $f(t)$  که به صورت خط چین در روی سطح صفر نشان داده شده بdst می آید. در شکل اخیر دیده می شود که برخلاف روش آنالیز طیفی، تأثیر پالس در سیگنال، خود را به صورت تغییراتی در محدوده کوچکی از زمان در  $t=0.8 \text{ Sec}$  و در سطوح ۴ تا ۷ نشان داده است و از همین جا می توان نتیجه گرفت که اغتشاش موجود در موقعیت زمانی یاد شده ناشی از یک پدیده موضعی باند پهن می باشد. برای آنکه مقایسه ای بین نحوه آنالیز سیگنال توسط موجک های چندگانه و موجک اسکالر صورت گیرد سیگنال اخیر را با استفاده از موجک اسکالر  $D_4$  نیز مورد آنالیز قرار می دهیم که سیگنال ورودی همراه با تبدیل موجک  $D_4$  آن در شکل (۴-الف) نشان داده شده است. در شکل (۴-ب) سیگنال ورودی با استفاده از تبدیل موجک  $D_4$  به سطوح مختلف تجزیه شده است. از این شکل دیده می شود که اثر پالس موضعی به صورت تغییراتی در سطوح ۵ تا ۷ آشکار شده است در حالیکه سیگنال سینوسی عمدتاً در سطوح ۱ تا ۳ ظاهر شده است. با مقایسه شکل اخیر با شکل (۴-د) دیده می شود که آنالیز موجک چندگانه تأثیر پالس موضعی را به باندهای فرکانسی متنوع تری تجزیه کرده است لذا پدیده های مستقر در سیگنال که دارای باند فرکانسی کمتری می باشند با استفاده از موجک های چندگانه با دقت بیشتری قابل ردیابی خواهد بود.

## ۵. آنالیز یک سیگنال سینوسی که دارای فرکانس متغیر با زمان است [۲۴]

در شکل (۵-الف) یک سیگنال سینوسی که فرکانس آن با زمان تغییر می کند نشان داده شده است. این سیگنال در ابتدا با استفاده از آنالیز فرکانسی مورد تحلیل قرار گرفت،

در شکل (۷-ب) طیف  $D_B$  سیگنال اخیر نشان داده شده است. آنچه که از این شکل آشکار می شود این است که سیگنال مورد نظر دارای باند فرکانسی خاصی است که تقریباً محدوده فرکانسی صفر تا پنجاه هرتز را می پوشاند. ولی این دیاگرام هیچگونه اطلاعاتی را در زمینه موقعیت زمانی فرکانس ها در اختیار نمی گذارد.

در شکل (۷-ج) سیگنال ورودی تکرار شده همراه با تبدیل موجک چندگانه آن نشان داده شده است و شکل (۷-د) نشان دهنده مؤلفه های سیگنال مورد نظر در سطوح مختلف می باشد. از این شکل کاملاً معلوم است که سیگنال مورد نظر دارای محدوده فرکانسی وسیعی است، و مهمتر از آن اینکه موقعیت زمانی بخش فرکانس پائین سیگنال به نقطه شروع سیگنال نزدیکتر می باشد در حالیکه با افزایش فرکانس، موقعیت فرکانس بالا به سمت انتهای سیگنال تغییر مکان می دهد.

## ۶. آنالیز یک سیگنال سینوسی همراه با ترکیبی از نویز و ضربه باند پهن [۲۴]

سیگنال بعدی که قصد داریم مورد تحلیل قرار دهیم یک سیگنال سینوسی آلوده شده توسط نویز سفید است که با یک ضربه باند پهن ترکیب شده است. این سیگنال در شکل (۶-الف) نشان داده شده است. نتایج حاصل از آنالیز طیفی در شکل (۶-ب)، که به صورت دیاگرام طیف دامنه می باشد، نشان داده شده است. از بررسی دیاگرام اخیر، محدوده فرکانسی موج سینوسی باند باریک، به وضوح قابل مشاهده است و وجود نویز نیز آشکار است در حالیکه به هیچ وجه نمی توان از طریق این روش آنالیز به وجود پالس و موقعیت زمانی آن پی برد. دیاگرام سیگنال ورودی تکرار شده همراه با تبدیل موجک چندگانه DGHM آن در شکل (۶-ج) نشان داده شده اند و در شکل (۶-د) تا (۶-و) سیگنال اخیر به سطوح مختلف تجزیه شده است. با بررسی دو شکل (۶-ه) و (۶-و) مشاهده می شود که عده ترین بخش سیگنال گذرای باند پهن در سطوح ۶ و ۷ تابع موجک<sup>۱</sup> ظاهر می شود و بعلاوه با بررسی شکل (۶-د) مشاهده می شود که سیگنال گذرای باند پهن که با استفاده از موجک های چندگانه آنالیز شده است به باندهای فرکانسی بیشتری تجزیه شده است در حالی که در موجک های اسکالر چنین امری امکان پذیر نیست. در شکل های (۶-ز) و (۶-ح) به ترتیب دیاگرام میانگین مربعات<sup>۲</sup> سه بعدی کلی و دیاگرام کانتور کلی در تمام سطوح نشان داده شده است. از این شکل نیز وجود نویز و ضربه باند پهن قابل تشخیص است و بعلاوه همه این شکل ها رفتار پریودیک غالب سیگنال را نشان می دهند.

اعمال سیستم موجک‌های چندگانه نیازمند محاسبه ضرائب تبدیل موجک‌های چندگانه به منظور آنالیز سیگنال‌های ارتعاشی هستیم ولی از آنجا که ماهیت روش تبدیل در سیستم موجک‌های اسکالار و سیستم موجک‌های چندگانه، به علت دخیل شدن روابط ماتریسی در سیستم موجک‌های چندگانه، کاملاً متفاوت می‌باشد لذا با ایده گرفتن از روش تبدیل موجک اسکالار، و با در نظر گرفتن خصوصیات تابع موجک چندگانه و توابع مقیاس چندگانه، ضرائب تبدیل موجک چندگانه بدست آمده است و یا آنالیز سیگنال‌های متعدد توسط موجک‌های چندگانه توانائی آنها با سیستم موجک‌های اسکالار مقایسه شده است. با آنکه انجام آنالیز توسط موجک‌های چندگانه مستلزم محاسبات پیچیده‌تر و بیشتری است ولی جزئیات دقیقتری از سیگنال را می‌توان با این روش استخراج کرد. از تجزیه سیگنال به مؤلفه‌های مختلف تابع مقیاس و توابع موجک چندگانه در سطوح مختلف، مشاهده می‌شود که سیستم موجک‌های چندگانه، سیگنال را به باندهای فرکانسی کوچکتری تجزیه می‌کنند و این خصوصیت می‌تواند بخشی از نیاز ما در آنالیز سیگنال‌های ارتعاشی تأمین کند. یکی دیگر از مزایای آنالیز توسط سیستم موجک‌های چندگانه نسبت به سیستم موجک‌های اسکالار و آنالیز طیفی، دقت بیشتر این تکنیک در ردیابی پدیده‌های گذراي مستتر در سیگنال ارتعاشی است که ممکن است در اثر وجود یک عیب موضعی در یک سیستم مکانیکی بوجود آمده باشد. در سیستم موجک‌های چندگانه DGHM که از دو تابع مقیاس و دو تابع موجک استفاده می‌شود تعداد باندهای فرکانسی بدست آمده از تجزیه یک سیگنال، دو برابر تعداد باندهای فرکانسی بدست آمده از آنالیز توسط یک سیستم موجک اسکالار می‌باشد، و در حالت کلی اگر تعداد تابع مقیاس و تابع موجک بکار رفته برابر ۲ باشد نسبت اخیر ۲ برابر خواهد شد.

موضوعی که یادآوری آن حائز اهمیت می‌باشد این است که کلاً مبحث آنالیز موجک، یک مبحث کاملاً جدید و در حال توسعه است و در این میان سیستم موجک‌های چندگانه که بیش از پنج سال از معرفی آنها نمی‌گذرد زمینه تحقیقاتی کاملاً جدیدی است. گرچه در سال‌ها اخیر در زمینه استفاده از سیستم موجک‌های اسکالار برای آنالیز ارتعاشی تحقیقاتی صورت گرفته است، که می‌توان به اخیرترین این تحقیقات از جمله [۱۱ و ۱۲] اشاره کرد، ولی تاکنون هیچ تحقیقی در زمینه آنالیز استفاده از موجک‌های چندگانه در آنالیز سیگنال‌های ارتعاشی صورت نگرفته است. در این مقاله برای اولین بار آنالیز سیگنال‌های ارتعاشی با استفاده از سیستم موجک‌های چندگانه توسعه یافته و برای تشخیص عیوب موضوعی و

برای آشکار شدن توانائی آنالیز توسط موجک‌های چندگانه نسبت به موجک‌های اسکالار، سیگنال یاد شده با سیستم موجک‌های متعامد  $D_4$  نیز آنالیز شده است. نتایج حاصل از این تحلیل در شکل (۷) نشان داده شده است. دیاگرام سیگنال و روایی همراه با تبدیل موجک  $D_4$  آن در شکل (۷-ب) تصاویر سیگنال (الف) آورده شده است و در شکل (۷-ب) در سطوح مختلف تابع مقیاس و تابع موجک بدست آمده است. چنانکه از این شکل دیده می‌شود در این روش آنالیز، تعداد باندهای مختلف نسبت به موجک‌های چندگانه DGHM به نصف کاهش یافته است. دیاگرام میانگین مربعات سه بعدی و دیاگرام کانتور بدست آمده از تبدیل موجک  $D_4$  به ترتیب در شکل های (۷-ج) و (۷-د) نشان داده شده است. از مقایسه دیاگرام‌های میانگین مربعات سه بعدی و دیاگرام‌های کانتور، توانائی آنالیز توسط موجک‌های چندگانه DGHM نسبت به موجک‌های اسکالار  $D_4$  آشکارتر می‌شود؛ برای مثال از مقایسه شکل (۶-ح) با شکل (۷-د) مشاهده می‌شود که موجک‌های چندگانه DGHM اثر پدیده گذراي ترکیب شده در سیگنال را با وضوح بیشتری نسبت به موجک‌های اسکالار  $D_4$  آشکار می‌کنند.

## ۷. بحث و نتیجه گیری

چنانکه بیان شد در سیستم موجک‌های چندگانه، معادلات آنالیز چنددققی به صورت معادلات ماتریسی هستند که این موضوع یکی از جنبه‌های تمایز اینگونه سیستم‌ها با سیستم موجک‌های اسکالار می‌باشد. در سیستم موجک‌های اسکالار، فضای سیگنال فقط با انتقال و اتساع یک تابع مقیاس اصلی و یک تابع موجک اصلی ایجاد می‌شود. بنابراین در تجزیه سیگنال توسط اینگونه موجک‌ها در سطوح بالاتر، باند فرکانسی تابع موجک بسیار گستردۀ است، به عبارت دیگر فضای تابع موجک در مقیاس‌های بالاتر، باند پهن می‌باشد لذا اگر در سیگنال مورد نظر پدیده‌ای موجود باشد که در فرکانس‌های بالاتر رخ دهد ولی دارای باند فرکانسی محدودتری باشد در آن صورت شناسائی چنین پدیده‌ای از نظر دقت فرکانسی بوسیله موجک‌های متعامد اسکالار کمتر خواهد بود.

باید یادآور شد که در آنالیز سیگنال‌های ارتعاشی نمی‌توان از وجود پدیده‌های یاد شده صرفنظر کرد. بنابراین تقسیم باندهای فرکانسی در مقیاس‌های مختلف، روش مناسبی برای شناسائی دقیق تر چنین پدیده‌هایی خواهد بود. بنابر آنچه که بیان شد یکی از انگیزه‌های مهم برای انجام این تحقیق استفاده از توانائی سیستم‌های موجک‌های چندگانه در آنالیز دقیق‌تر زمان-فرکانس سیگنال‌های ارتعاشی می‌باشد. برای

دلتای کرونکر  
تابع برداری که المان های آن توابع مقیاس  
هستند

تابع مقیاس نام  
تابع برداری  $\Phi$  در حوزه فرکانسی  
تابع برداری که المان های آن توابع موجک  
چندگانه هستند  
تابع موجک نام

$\delta_{ij}, \delta_n$   
 $\Phi$

$\varphi_i$   
 $\hat{\Phi}(\omega)$   
 $\Psi$

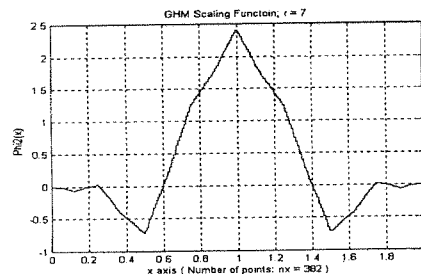
## زیرنویس ها

1. Multiwavelet Systems
2. Scalar Wavelets
3. Scale Functions
4. Wavelet Functions
5. Symmetric
6. Antisymmetric
7. Image Processing
8. Multiresolution Analysis
9. Fractal Functions
10. Mean Square Map

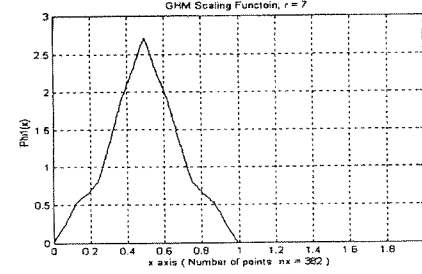
پدیده های گذرا در سیستم های مکانیکی بکار رفته است لذا  
انجام این تحقیق از نظر علمی و کاربردی دارای اهمیت خاصی  
می باشد.

## فهرست علائم و اختصارات

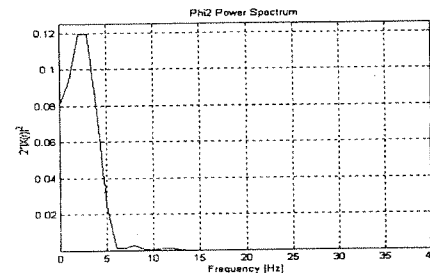
$C_j$ و $D_j$	بردار ضرائب تبدیل موجک های چندگانه
$c_i$ و $d_i$	المان های بردارهای $C_j$ و $D_j$
$f(t)$	سیگنال در حوزه زمان
$G_k$	ماتریس ضرائب برای محاسبه توابع مقیاس
$g_{ik}$	المان های ماتریس ضرائب $G_k$
$H_k$	ماتریس ضرائب برای محاسبه توابع موجک
$h_{ij}$	المان های ماتریس ضرائب $H_k$
$I$	ماتریس واحد
$i, j, k, l$	اعداد صحیح
$L^2(R)$	فضای سیگنال ها با انرژی محدود
$t$	پارامتر زمان
$V_j$	فضای ایجاد شده توسط انتقال و اتساع
$z$	تابع مقیاس در سطح $j$
$W_j$	فضای ایجاد شده توسط انتقال و اتساع
$z$	تابع موجک در سطح $j$
$Z$	مجموعه اعداد صحیح



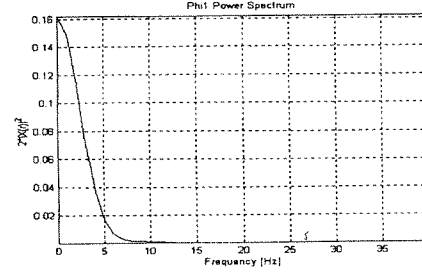
(ب) تابع مقیاس  $\varphi_2$



(الف) تابع مقیاس  $\varphi_1$

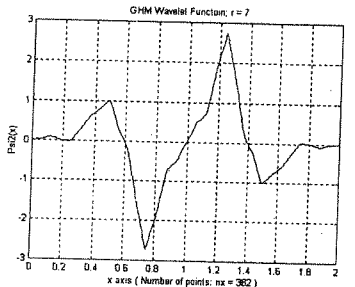


(د) طیف توان تابع مقیاس  $\varphi_2$

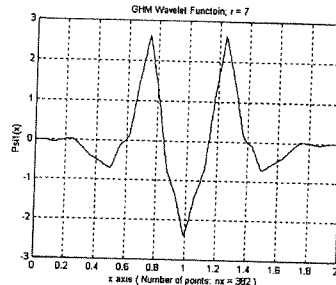


(ج) طیف توان تابع مقیاس  $\varphi_1$

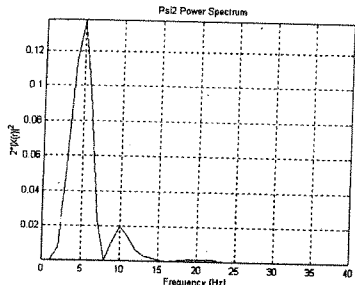
شکل (۱) توابع مقیاس GHM و طیف توان آنها.



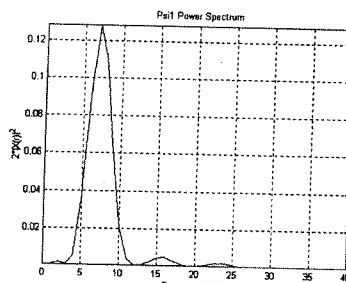
(ب) تابع موجک  $\Psi_2$



(الف) تابع موجک  $\Psi_1$

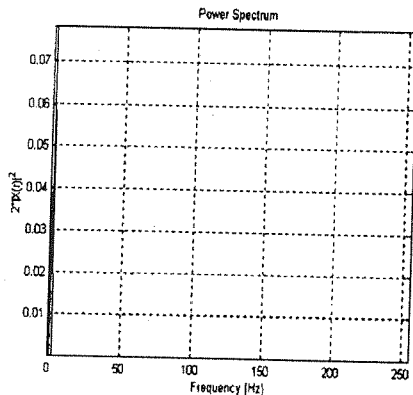


(د) طیف توان تابع موجک  $\Psi_2$

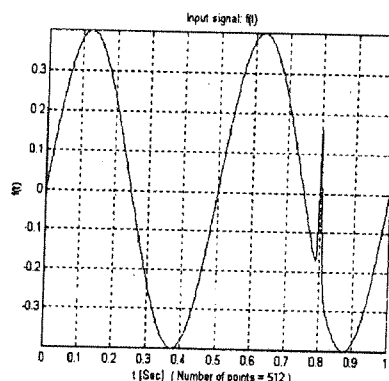


(ج) طیف توان تابع موجک  $\Psi_1$

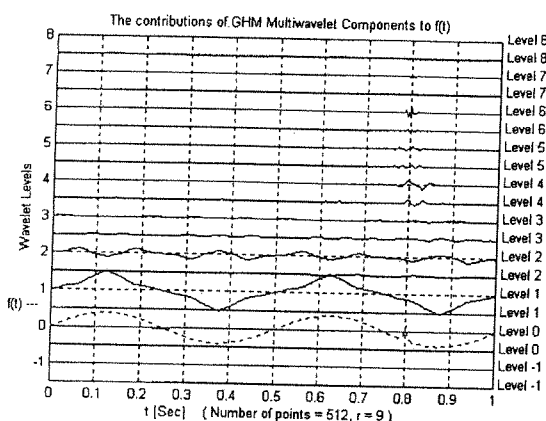
شکل (۲) توابع موجک DGHM و طیف توان آنها.



(ب) طیف توان سیگنال سینوسی ترکیب شده با یک پالس باند بهم

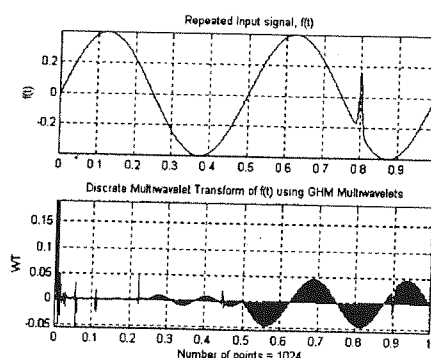


(الف) سیگنال سینوسی ترکیب شده با یک پالس باند بهم

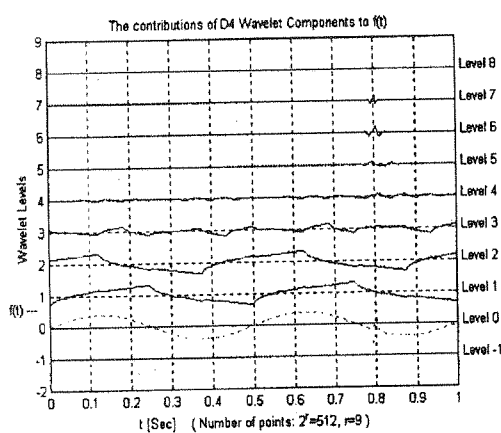


(د) تجزیه سیگنال به سطوح مختلف با استفاده از تبدیل موجک چندگانه DGHM

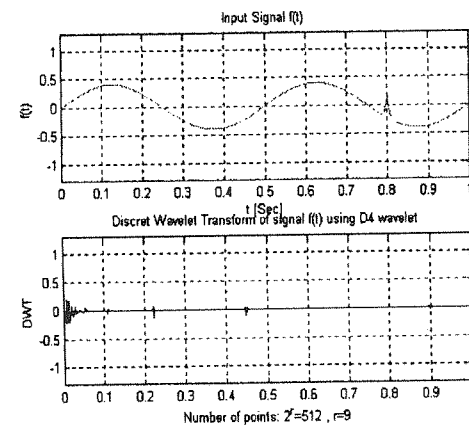
شکل (۳) آنالیز یک سیگنال سینوسی همراه با یک پالس باند بهم با استفاده از موجک های چندگانه DGHM و آنالیز طیفی.



(ج) سیگنال ورودی تکرار شده و تبدیل موجک چندگانه آن

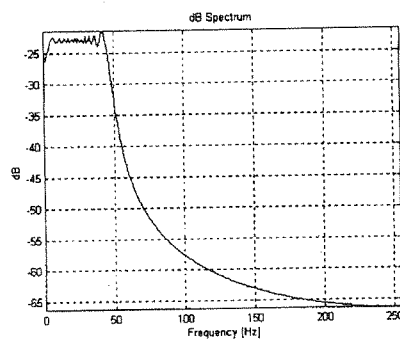


(ب) تجزیه سیگنال به سطوح مختلف با استفاده از تبدیل موجک اسکالار D<sub>4</sub>

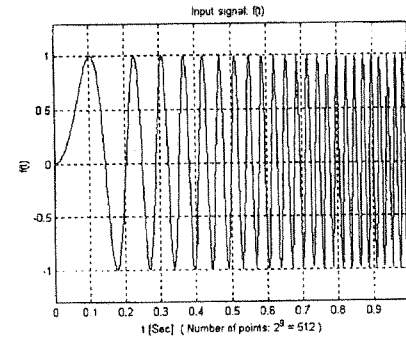


(الف) سیگنال ورودی همراه با تبدیل موجک D<sub>4</sub> آن

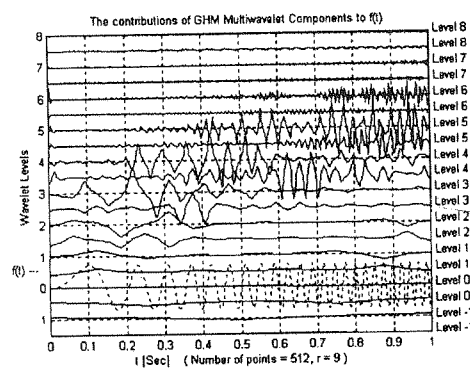
شکل (۴) آنالیز یک سیگنال سینوسی همراه با یک پالس باند پهن با استفاده از تبدیل موجک اسکالار D<sub>4</sub>



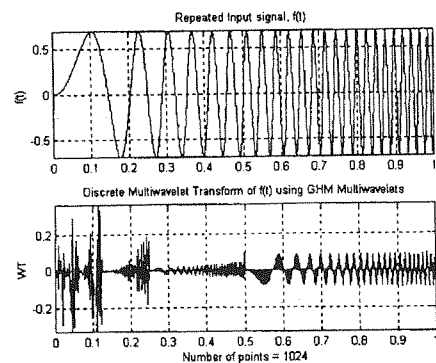
(ب) طیف dB سیگنال سینوسی با فرکانس متغیر نسبت به زمان



(الف) سیگنال سینوسی با فرکانس متغیر نسبت به زمان

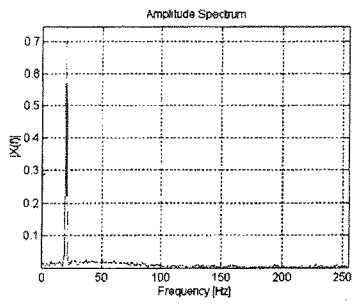


(د) تجزیه سیگنال به سطوح مختلف با استفاده از تبدیل موجک چندگانه DGHM

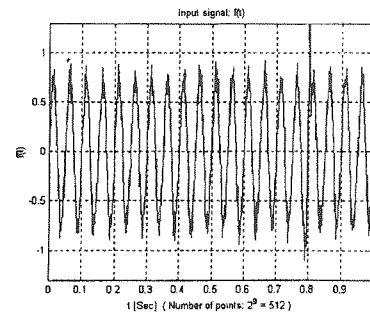


(ج) سیگنال ورودی تکرار شده و تبدیل موجک چندگانه آن

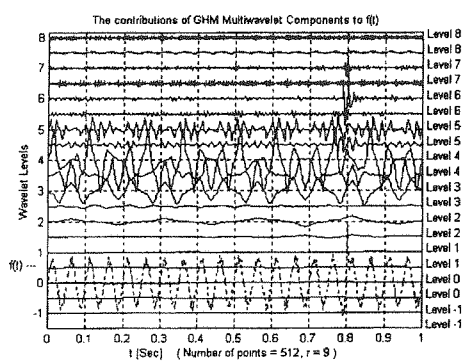
شکل (۵) آنالیز یک سیگنال سینوسی با فرکانس متغیر نسبت به زمان با استفاده از موجک چندگانه DGHM.



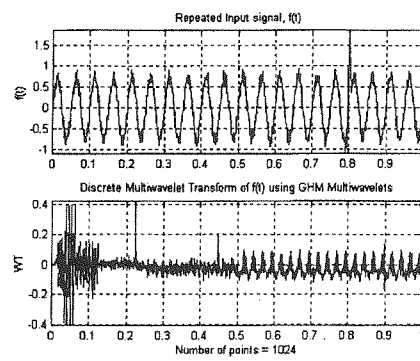
(ب) طیف دامنه سیگنال



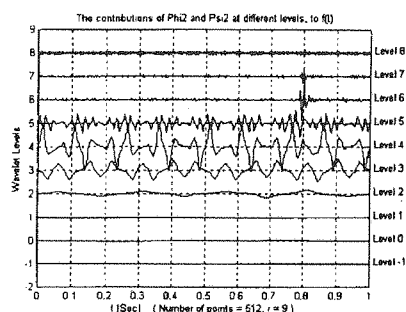
(الف) سیگنال سینوسی ترکیب شده با نویز سفید و ضربه باند پهن



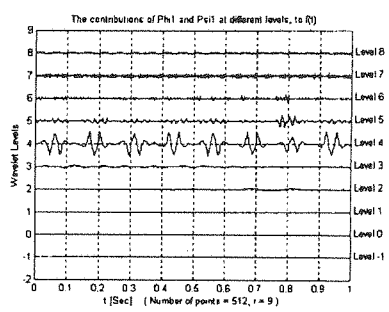
(د) تجزیه سیگنال به سطوح مختلف با استفاده از تبدیل موجک چندگانه DGHM



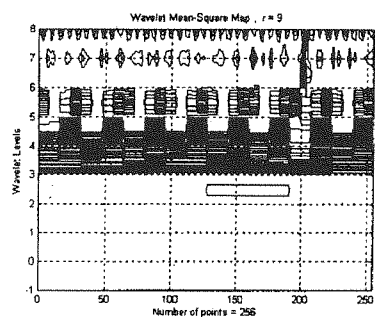
(ج) سیگنال ورودی تکرار شده و تبدیل موجک چندگانه آن



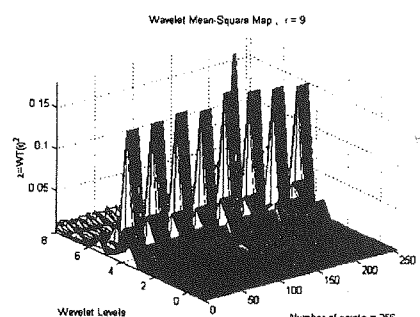
(و) تجزیه سیگنال به سطوح مختلف توابع مقیاس و موجک  $\varphi_2$ ،  $\psi_2$



(ه) تجزیه سیگنال به سطوح مختلف توابع مقیاس و موجک  $\varphi_1$ ،  $\psi_1$

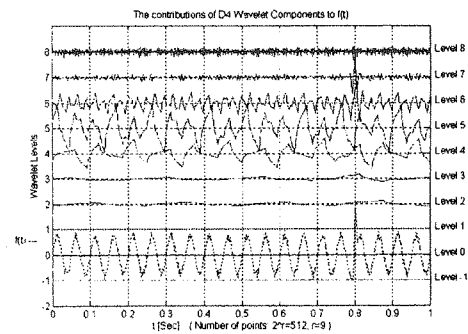


(ج) دیاگرام میانگین مربعات سه بعدی کلی در تمام سطوح مختلف توسط DGHM

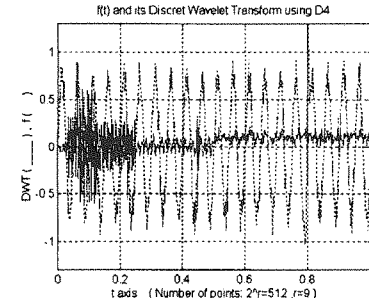


(ز) دیاگرام میانگین مربعات سه بعدی کلی در تمام سطوح مختلف توسط DGHM

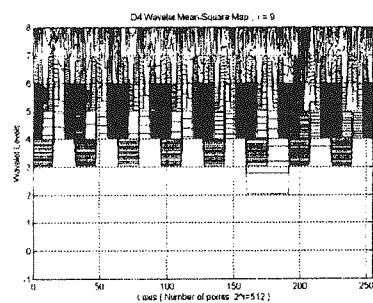
شکل (۶) آنالیز سیگنال سینوسی ترکیب شده با نویز و ضربه باند پهن با استفاده از موجک چندگانه DGHM و آنالیز طیفی.



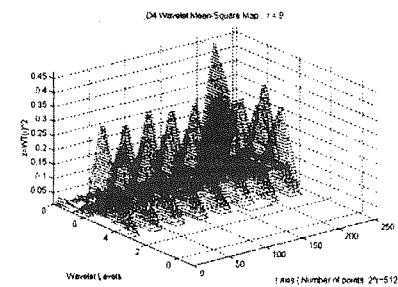
(ب) تجزیه سیگنال به سطوح مختلف با استفاده از تبدیل موجک D<sub>4</sub>



(الف) سیگنال ورودی و تبدیل موجک D<sub>4</sub> آن



(د) دیاگرام کانتور دو بعدی با استفاده از تبدیل موجک D<sub>4</sub>



(ج) دیاگرام میانگین مربعات سه بعدی با استفاده از تبدیل موجک D<sub>4</sub>

شکل (۷) تحلیل سیگنال بوسیله موجک D<sub>4</sub>

## مراجع

- [1] I. Daubechies, "The Wavelet Transform, Time-Frequency Localization and Signal Analysis", IEEE Transactions on Information Theory, 1990, 36, pp. 961-1005.
- [2] Stephane Mallat, A Wavelet Tour of Signal Processing, Academic Press, 1998.
- [3] C. Sidney Burrus, Ramesh A. Gopinath and Haitao Guo, Introduction to Wavelets and Wavelet transforms, Prentice Hall, 1998.
- [4] Jeffery S. Geronimo, Douglas P. Hardin and Peter R. Massopust, "Fractal Functions and Wavelet Expansions Based on Several Scaling Functions", Journal of Approximation Theory, 1994, 78, pp. 373-401.
- [5] Gilbert Strang, and Vasily Strela, "Short Wavelets and Matrix Dilation Equations", IEEE Transactions on Signal Processing, 1995, 43 (1), pp. 108-115.
- [6] George C. Donovan, Jeffrey S. Geronimo, Douglas P. Hardin, and Peter R. Massopust, "Construction of Orthogonal Wavelets Using Fractal Interpolation Functions", SIAM Journal of Mathematical Analysis, 1996, 27 (4), pp. 1158-1192.
- [7] D.E.Newland,"Wavelet Analysis of Vibration, Part 1: Theory", Journal of Vibration and Acoustics, 1994,116,pp. 409-416.
- [8] D.E.Newland, "Wavelet Analysis of Vibration, Part 2: Wavelet Maps", Journal of Vibration and Acoustics, 1994,116,pp. 417-425.
- [9] S. T. Lin & P. D. McFadden, "Vibration Analysis of Gearboxes by the Linear Wavelet Transform", Second International Conference on Gearbox Noise, Vibration, and Diagnostics, IMechE Conference Transactions, 16-17 November 1995,pp. 59-72.
- [10] Yulin Yan and Taro Shimogo, "The Application of Haar Transform in Signature Extraction and Condition Monitoring of Mechanical Systems", JSME International Journal, Series III, 1990, 33 (2), pp. 191-197.
- [11] G. Y. Luo, D. Osypiw, and M. Irle, "Real-Time Condition Monitoring by Significant and Natural Frequencies Analysis of Vibration Signal with Wavelet Filter and Autocorrelation Enhancement", Journal of Sound and Vibration, 2000, 236 (3), pp. 413-430.
- [12] K. Mori, N. Kasashima, T. Yoshiola and Y. Ueno,

- “Prediction of Spalling on a Ball Bearing by Applying the Discrete Wavelet Transform to Vibration Signals”, Wear, 1996, 195 (1-2), pp. 162-168.
- [13] Roger Ghanem, and Francesco Romeo, “A Wavelet-Based Approach for the Identification of Linear Time-Varying Dynamical Systems”, Journal of Sound and Vibration, 2000, 234 (4), pp. 555-576.
- [14] Xiang-Gen Xia, Jeffrey S. Geronimo, Douglas P. Hardin, and Bruce W. Suter, “Design of Prefilters for Discrete Multiwavelet Transforms”, IEEE Transactions on Signal Processing, 1996, 44 (1), pp. 25-35.
- [15] Mariantonio Cotronei, Laura B. Montefusco, and Luigia Puccio, “Multiwavelet Analysis and Signal Processing”, IEEE Transactions on Circuits and Systems - II: Analog and Digital Signal Processing, 1998, 45(8), pp. 970-987.
- [16] Douglas P. Hardin, and David W. Roach, “Multiwavelet Prefilters-I: Orthogonal Prefilters Preserving Approximation Order  $p \leq 2$ ”, IEEE Transactions on Circuits and Systems - II: Analog and Digital Signal Processing, 1998, 45(8), pp. 1106-1112.
- [17] T. R. Downie, and B. W. Silverman, “The Discrete Multiple Wavelet Transform and Thresholding Methods”, IEEE Transactions on Signal Processing, 1998, 46(9), pp. 2558-2561.
- [18] Xiang-Gen Xia, and Bruce W. Suter, “Vector-Valued Wavelets and Vector Filter Banks”, IEEE Transactions on Signal Processing, 1996, 44(3), pp. 508-518.
- [19] Ivan W. Selesnick, “Balanced GHM-Like Multiscaling Functions”, IEEE Signal Processing Letters, 1999, 6(5) pp. 111-112.
- [20] Vasily Strela, Peter Niels Heller, Gilbert Strang, Pankaj Topiwala, and Christopher Heil, “The Application of Multiwavelet Filterbanks to Image Processing”, IEEE Transactions on Image Processing, 1999, 8(4) pp. 548-563.
- [21] Selesnick, Ivan W., “Multiwavelet Bases with Extra Approximation Properties”, IEEE Transactions on Signal Processing, 1998, 46 (11), pp. 2898-2908.
- [22] Ivan W. Selesnick, “Interpolating Multiwavelet Baese and the Sampling Theroem”, IEEE Transactions on Signal Processing, 1999, 47 (6), pp. 1615-1621.
- [23] T.D. Bui, and G. Chen, “Translation-Invariant Denoising Using Multiwavelets”, IEEE Transactions on Signal Processing 1998, 46(12) pp 3414-3420.
- ۲۴- موسی رضائی، توسعه تحلیل و بررسی تجربی سیگنال های ارتعاشی برای عیب یابی بوسیله طراحی سیستم های موجک های متعدد دوگانه و چندگانه، گزارش سمینار رساله دکتری منتشر نشده، دانشگاه تربیت مدرس، زمستان ۱۳۷۹.